



$$\Delta = A_x \phi_x \quad \dots \dots \dots \quad (8)$$

式(8)を式(4), (6), (7)を代入のうえ整理すれば次のような。

$$J_x \Delta + G_{xt} \eta = A_x \phi_x^P \quad \dots \dots \dots \quad (9)$$

ただし、 $J_x = I_x + A_x Y_x - A_x X$ ,  $G_{xt} = A_x Y_x C$ ,  $A_x = A_x S_x$   
式(5), (9)を連立して、

$$\begin{bmatrix} J_x & G_{xt} \\ G_{xt} & J_x \end{bmatrix} \begin{Bmatrix} \eta \\ \Delta \end{Bmatrix} = \begin{Bmatrix} A_x \bar{M}_S + A_x \phi_x^P \\ A_x \phi_x^P \end{Bmatrix}$$

$$\therefore \begin{Bmatrix} \eta \\ \Delta \end{Bmatrix} = \begin{bmatrix} J_x & G_{xt} \\ G_{xt} & J_x \end{bmatrix}^{-1} \begin{Bmatrix} A_x \bar{M}_S + A_x \phi_x^P \\ A_x \phi_x^P \end{Bmatrix} \quad \dots \dots \quad (10)$$

式(10)によれば、任意の荷重状態に対する塔と補剛材の一体弾塑性変形解析が可能になるわけである。

### 3. 計算結果および考察

数値計算例として、本四吊橋を準じたA(中央径間 770m), B(中央径間 1500m) type の橋を対象に計算を行なったが、ここでは紙面の関係上 B type の橋の計算結果の一部を図示した。この吊橋の諸元は表-1 に示すところである。塔は変断面の3BOX 断面として解析を行なった。

まず、Fig-2は、Fig-1のような等分布荷重  $s(kN/m)$  と水平張力  $H(H_d + H_e)$  との関係を示したものであるが、中央スパンの水平張力は塔を考慮しない場合(CASE1)とほとんど同じだが、左サイドスパンの張力はFig-2のようだ塔が降伏し始めるころより少しづつ大きくなる。これは塔の変形を阻止しようとする力、すなわち、塔頂に加わる水平反力を正→負と大きく変化するためである。さもなく塔頂変位  $\delta(m)$  と等分布荷重  $s(kN/m)$  の関係を示したのがFig-3であるが、CASE1の場合と比べて、塔の変位は弾性範囲内ではほぼ一致しているが、塔が降伏するころから少しづつ塔頂変位は大きくなる。この塔頂変位の差は量的には少なくて不安定現象の発生する近傍では、塔の挙動に鋭敏に左右する因となり、この点吊橋の安定解析に際し、留意すべきことと言えよう。また、吊橋全体を見て、塔を考慮しないときより考慮したときの方がその量は小さいけれども少しづつ変位量が大きくなっている。実際問題としては、著者が試みたこの二つの吊橋で構成する限り、塔の影響は図示するよに2~3%とかなり少ないので、この量をケバーしたような塔頂に加わる力  $P(H_d + H_e) - \delta$ (塔頂変位)曲線を近似的に用いれば、塔のみの安定解析で十分な精度の解がえられるものと思われる。(しかし、この傾向は危険サンドウあり、また吊橋の形状、荷重状態などによっては量的に増大する場合もあるので、塔と吊橋とり一体解析による耐力の検討が基本的必要であると思われる。なお、本研究は吊構造と抗風理論により解析したが、このような長大吊橋では当然、有限変形理論によるなければならないとの点については目下検討中である。

### 4. 参考文献

- (1) T. Ohta and T. Yamasaki : Elasto-Plastic Analysis of Steel Structures Considering the Effects of Residual Stress and Finite Deformation. Proc. of JSCE. No. 199, Oct. 1977.
- (2) 太田俊昭、明田敬郎：吊橋主塔と基礎一体構造の非線形解析、九州大学工学集報 第47巻 第3号
- (3) 国広哲男、藤原稔、川治久：吊橋主塔の極限耐荷力、建設省土木技術資料 14-S 1972.
- (4) 福本勝士、大森和寛：吊橋タワーの静的挙動に因する基礎的研究、土木学会論文報告集 第224号、1974年

計算例諸元	
中央支間長	1500 m
側径間長	750 m
中央径間サグ	150 m
側径間サグ	37.5 m
ケーブル断面積	0.6568 m <sup>2</sup> /Cable
補剛トラス高	12 m
補剛桁断面二次モーメント	3.349 m <sup>4</sup> /Br
死荷重	15.84 t/m/Cable
主塔高	223 m
主塔平均二次モーメント	29.213 m <sup>4</sup>
主塔平均断面積	2.523 m <sup>2</sup>

表-1

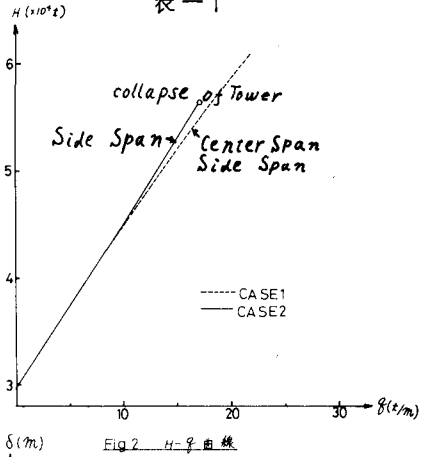


Fig-2 H-s 曲線

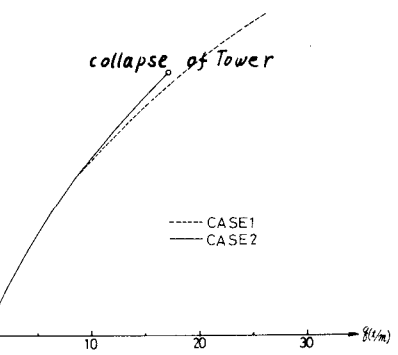


Fig-3 s-s 曲線